

Вырожденные суперинтегрируемые системы на трёхмерных пространствах постоянной отрицательной кривизны

По материалам кандидатской диссертации

Давид Петросян

Научный руководитель д.ф.-м.наук Г.С.Погосян

ЛТФ ОИЯИ

17 мая 2016 г.

Содержание

Введение

Классическое движение на гиперboloиде H_2^2

Квантовое движение на гиперboloиде H_2^2

Задача Кеплера Кулона на однополостном гиперboloиде H_3^1

Квантовая задача Кеплера-Кулона на однополостном гиперboloиде H_3^1

Суперинтегрируемые системы

В классической механике n -мерная система называется интегрируемой если существует n функционально независимых интегралов движения находящихся в инволюции

$$\{H, X_i\} = 0 \quad \{X_i, X_j\} = 0$$

Система называется суперинтегрируемой, если она допускает существование $n+k$ ($k=1,2,\dots,n-1$) констант движения

Трёхмерные пространства постоянной кривизны

E_3	$H_2^2 = SO(2,2)/SO(2,1)$
$E_{2,1}$	$H_1^3 = SO(3,1)/SO(2,1)$
S_3	$H_3^1 = SO(3,1)/SO(3)$

- В классической механике, суперинтегрируемость ограничивает траекторию в $n - k$ мерном подпространстве фазового пространства ($0 < k < n$). Для $k = n - 1$ (максимальная суперинтегрируемость), это означает что финитные траектории замкнуты и движение периодически.
- По крайней мере принципиально возможно вычислить траектории без использования мат. анализа.
- Теорема Бертрана гласит, что из всех сферически симметричных потенциалов $V(r)$, только для систем Кеплера-Кулона и гармонического осциллятора все финитные траектории являются замкнутыми, следовательно ни одна другая суперинтегрируемая система не является центрально симметричной.
- Алгебра интегралов движения не является Абелевой, и зачастую это конечная полиномиальная алгебра.
- В специальном случае квадратичной суперинтегрируемости, интегрируемость связана с разделением переменных в уравнениях Гамильтона-Якоби и Шредингера.
- В квантовой механике суперинтегрируемость приводит к дополнительному вырождению уровней энергии (случайное вырождение).
- Существует предположение, основанное на всех известных примерах, что все суперинтегрируемые системы точно решаемы. Если предположение верно то уровни энергии могут быть найдены алгебраически.

Трёхмерный гиперболоид $H_2^2 \subset \mathbb{R}_{2,2}$

$$z_0^2 + z_1^2 - z_2^2 - z_3^2 = R^2 \quad (1)$$

Псевдосферические координаты

$$z_0 = \pm R \cosh r,$$

$$z_1 = R \sinh r \sinh \tau,$$

$$z_2 = R \sinh r \cosh \tau \cos \varphi,$$

$$z_3 = R \sinh r \cosh \tau \sin \varphi,$$

$$r \in (0, \infty) \quad \tau \in (-\infty, \infty) \quad \varphi \in [0, 2\pi)$$

$$z_0 = \pm R \cos \chi,$$

$$z_1 = R \sin \chi \cosh \mu,$$

$$z_2 = R \sin \chi \sinh \mu \cos \varphi,$$

$$z_3 = R \sin \chi \sinh \mu \sin \varphi,$$

$$\chi \in \left(-\frac{\pi}{2}, \frac{\pi}{2}\right) \quad \mu \in (-\infty, \infty)$$

$$r \rightarrow i\chi \quad \tau \rightarrow \mu - i\pi/2.$$

Метрика

$$\frac{ds^2}{R^2} = dr^2 - \sinh^2 r d\tau^2 + \sinh^2 r \cosh^2 \tau d\varphi^2$$

Свободный Гамильтониан

$$\mathcal{H}_{free} = \frac{1}{2R^2} \left\{ p_r^2 - \frac{1}{\sinh^2 r} \left(p_\tau^2 - \frac{p_\varphi^2}{\cosh^2 \tau} \right) \right\}.$$

Генераторы $so(2, 2)$ алгебры

$$\begin{aligned} \mathcal{L}_1 &= -(z_2 p_3 - z_3 p_2), & \mathcal{L}_2 &= -(z_1 p_3 + z_3 p_1), & \mathcal{L}_3 &= (z_1 p_2 + z_2 p_1), \\ \mathcal{N}_1 &= (z_0 p_1 - z_1 p_0), & \mathcal{N}_2 &= -(z_0 p_2 + z_2 p_0), & \mathcal{N}_3 &= -(z_0 p_3 + z_3 p_0), \end{aligned}$$

со скобками Ли-Пуассона ($\bar{g}_{ik} = \text{diag}\{1, -1, -1\}$)

$$\begin{aligned} \{\mathcal{L}_i, \mathcal{L}_j\} &= \bar{g}_{im} \bar{g}_{jn} \varepsilon^{mnk} \mathcal{L}_k, & \{\mathcal{N}_i, \mathcal{N}_j\} &= \bar{g}_{im} \bar{g}_{jn} \varepsilon^{mnk} \mathcal{L}_k, \\ \{\mathcal{N}_i, \mathcal{L}_j\} &= \bar{g}_{im} \bar{g}_{jn} \varepsilon^{mnk} \mathcal{N}_k, \end{aligned}$$

Инварианты Казимира

$$C_1 = \mathbf{L} \cdot \mathbf{N} = \mathbf{N} \cdot \mathbf{L} = \bar{g}_{ik} \mathcal{N}_i \mathcal{L}_k = \mathcal{N}_1 \mathcal{L}_1 - \mathcal{N}_2 \mathcal{L}_2 - \mathcal{N}_3 \mathcal{L}_3 = 0,$$

$$C_2 = N^2 + L^2,$$

$$N^2 = \mathbf{N} \cdot \mathbf{N} = \bar{g}_{ik} \mathcal{N}_i \mathcal{N}_k = \mathcal{N}_1^2 - \mathcal{N}_2^2 - \mathcal{N}_3^2,$$

$$L^2 = \mathbf{L} \cdot \mathbf{L} = \bar{g}_{ik} \mathcal{L}_i \mathcal{L}_k = \mathcal{L}_1^2 - \mathcal{L}_2^2 - \mathcal{L}_3^2.$$

В псевдо-сферических координатах

$$L^2 = \mathcal{L}_1^2 - \mathcal{L}_2^2 - \mathcal{L}_3^2 = - \left(p_\tau^2 - \frac{p_\varphi^2}{\cosh^2 \tau} \right), \quad (2)$$

Как следует из уравнения (2): $p_\varphi^2 / \cosh^2 \tau - L^2 \geq 0$, величина L^2 , в отличие от движения в Евклидовом пространстве (или сфере и двухполостном гиперboloиде), может принимать не только положительные и нулевое, а также отрицательные значения.

Потенциал

$$V^{\text{osc}} = \frac{\omega^2 R^2}{2} \left(\frac{z_2^2 + z_3^2 - z_1^2}{z_0^2} \right) = \begin{cases} \frac{\omega^2 R^2}{2} \tanh^2 r, & |z_0| \geq R \\ -\frac{\omega^2 R^2}{2} \tan^2 \chi, & |z_0| \leq R. \end{cases}$$

Соответствующим образом Гамильтониан может быть записан как

$$\mathcal{H}^{\text{osc}} = \frac{1}{2R^2} \left(p_r^2 + \frac{L^2}{\sinh^2 r} \right) + \frac{\omega^2 R^2}{2} \tanh^2 r, \quad |z_0| \geq R$$

$$\mathcal{H}^{\text{osc}} = -\frac{1}{2R^2} \left(p_\chi^2 + \frac{L^2}{\sin^2 \chi} \right) - \frac{\omega^2 R^2}{2} \tan^2 \chi, \quad |z_0| \leq R$$

Тензор Демкова-Фрадкина

$$D_{ik} = \frac{1}{R^2} N_i N_k + \omega^2 R^2 \frac{z_i z_k}{z_0^2}, \quad D_{ik} = D_{ki} \quad i, k = 1, 2, 3.$$

$$\mathcal{H}^{\text{osc}} = -D_{11} + D_{22} + D_{33} - \frac{L^2}{2R^2}.$$

$$\begin{array}{lll}
[D_{12}L_1] = -iD_{13} & [D_{12}L_2] = -iD_{23} & [D_{12}L_3] = iD_{11} - iD_{22} \\
[D_{13}L_1] = iD_{12} & [D_{13}L_2] = iD_{11} - iD_{33} & [D_{13}L_3] = -iD_{23} \\
[D_{23}L_1] = -iD_{33} + iD_{22} & [D_{23}L_2] = iD_{12} & [D_{23}L_3] = iD_{13} \\
[D_{11}L_2] = 2iD_{13} & [D_{11}L_3] = -2iD_{12} & [D_{22}L_1] = -2iD_{23} \\
[D_{22}L_3] = 2iD_{12} & [D_{33}L_1] = 2iD_{23} & [D_{33}L_2] = 2iD_{13}
\end{array}$$

$$\begin{array}{ll}
[D_{11}D_{12}] = i \left(2\omega^2 - \frac{1}{2R^4} \right) L_3 - \frac{i}{R^2} \{L_3D_{11}\} & [D_{11}D_{13}] = i \left(2\omega^2 - \frac{1}{2R^4} \right) L_2 - \frac{i}{R^2} \{L_2D_{11}\} \\
[D_{11}D_{23}] = \frac{i}{R^2} (\{L_2D_{12}\} + \{L_3D_{13}\}) & [D_{11}D_{22}] = -\frac{2i}{R^2} \{L_3D_{12}\}
\end{array}$$

$$\begin{array}{ll}
[D_{22}D_{12}] = -i \left(2\omega^2 - \frac{1}{2R^4} \right) L_3 + \frac{i}{R^2} \{L_3D_{22}\} & [D_{22}D_{13}] = \frac{i}{R^2} (-\{L_1D_{12}\} + \{L_3D_{23}\}) \\
[D_{22}D_{23}] = i \left(2\omega^2 - \frac{1}{2R^4} \right) L_1 - \frac{i}{R^2} \{L_1D_{22}\} & [D_{22}D_{33}] = -\frac{2i}{R^2} \{L_1D_{23}\}
\end{array}$$

$$\begin{array}{ll}
[D_{33}D_{12}] = \frac{i}{R^2} (\{L_2D_{23}\} + \{L_1D_{13}\}) & [D_{33}D_{13}] = -i \left(2\omega^2 - \frac{1}{2R^4} \right) L_2 + \frac{i}{R^2} \{L_2D_{33}\} \\
[D_{33}D_{23}] = -i \left(2\omega^2 - \frac{1}{2R^4} \right) L_1 + \frac{i}{R^2} \{L_1D_{33}\} & [D_{33}D_{11}] = \frac{2i}{R^2} \{L_2D_{13}\}
\end{array}$$

$$[D_{12}D_{13}] = i \left(\omega^2 - \frac{1}{4R^4} \right) L_1 + \frac{i}{2R^2} (-\{L_1D_{11}\} - \{L_2D_{12}\} + \{L_3D_{13}\})$$

$$[D_{12}D_{23}] = i \left(\omega^2 - \frac{1}{4R^4} \right) L_2 + \frac{i}{2R^2} (-\{L_1D_{12}\} - \{L_2D_{22}\} - \{L_3D_{23}\})$$

$$[D_{13}D_{23}] = i \left(\omega^2 - \frac{3}{4R^4} \right) L_3 + \frac{i}{2R^2} (-\{L_1D_{13}\} + \{L_2D_{23}\} - 3\{L_3D_{33}\})$$

Уравнение Гамильтона-Якоби

Уравнение Гамильтона-Якоби получается заменой в Гамильтониане $p_{\mu_i} \rightarrow \partial S / \partial \mu_i$, где $\mu_i = (r, \tau, \varphi)$

$$H = \frac{1}{2R^2} \left\{ \left(\frac{\partial S}{\partial r} \right)^2 - \frac{1}{\sinh^2 r} \left(\frac{\partial S}{\partial \tau} \right)^2 + \frac{1}{\sinh^2 r \cosh^2 \tau} \left(\frac{\partial S}{\partial \varphi} \right)^2 \right\} + \frac{\omega^2 R^2}{2} \tanh^2 r = E.$$

Это уравнение полностью разделимо, и координата φ циклична, и мы будем искать решение классического действия $S(r, \tau, \varphi, t)$ в виде

$$S(r, \tau, \varphi, t) = -Et + p_\varphi \varphi + S_1(r) + S_2(\tau),$$

После разделения переменных

$$\left(\frac{\partial S_2}{\partial \tau} \right)^2 - \frac{p_\varphi^2}{\cosh^2 \tau} = -L^2, \quad (3)$$

$$\frac{1}{2R^2} \left(\frac{\partial S_1}{\partial r} \right)^2 + \frac{\omega^2 R^2}{2} \tanh^2 r + \frac{L^2}{2R^2 \sinh^2 r} = E, \quad (4)$$

Эффективный потенциал

$$U_{\text{eff}}(r) = \frac{\omega^2 R^2}{2} \tanh^2 r + \frac{L^2}{2R^2 \sinh^2 r}.$$

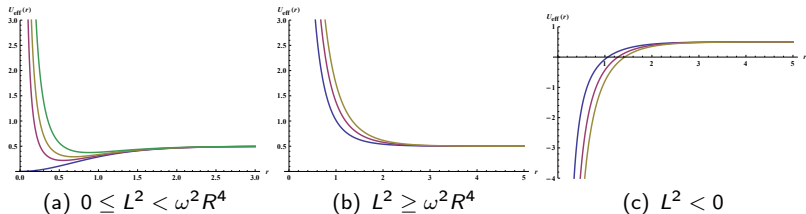


Рис.: Эффективный потенциал $U_{\text{eff}}(r)$ для разных значений L^2

В случае $0 \leq L^2 < \omega^2 R^4$ потенциал имеет минимум в $r_0 = \tanh^{-1} \sqrt[4]{L^2/\omega^2 R^4}$

$$0 \leq U_{\text{eff}}(r_0) = \omega \sqrt{L^2} - \frac{L^2}{2R^2} < \frac{\omega^2 R^2}{2},$$

Траектории для $L^2 > 0$

Для уравнения траектории имеем

$$\coth^2 r = \left(\frac{ER^2}{L^2} + \frac{1}{2} \right) + \sqrt{\left(\frac{ER^2}{L^2} + \frac{1}{2} \right)^2 - \frac{\omega^2 R^4}{L^2}} \sin(2\psi + 4\sqrt{A}\beta),$$

$$\psi = \arcsin \left(\frac{\sinh \tau}{\sqrt{p_\varphi^2/L^2 - 1}} \right) = \arcsin \left(\frac{1}{\sqrt{1 + L^2/p_\varphi^2 \cot^2(\varphi_0 - \varphi)}} \right).$$

Из формулы (??) следует, что движение частицы на гиперboloиде ограничено дополнительным условием

$$\frac{z_1}{z_3} = \frac{\tanh \tau}{\sin \varphi} = \sqrt{1 - L^2/p_\varphi^2}.$$

В следствии этого, без потери общности можем выбрать $\tau = 0$ или $L^2 = p_\varphi^2$. Можно заметить, что траектории движения, вписывающиеся этой формулой, лежат на верхнем ($z_0 \geq R$) или нижнем ($z_0 \leq -R$) листе двухполостного гиперboloида: $z_0^2 - z_2^2 - z_3^2 = R^2$

$$\tanh^2 r = \frac{p}{1 + \varepsilon(R) \cos 2\varphi}, \quad (5)$$

где мы используем обозначения

$$p = \left(\frac{ER^2}{L^2} + \frac{1}{2} \right)^{-1} > 0, \quad \varepsilon(R) = \sqrt{1 - \frac{4\omega^2 R^4 L^2}{(2ER^2 + L^2)^2}}, \quad (6)$$

А. Рассмотрим сначала случай $0 < L^2 < \omega^2 R^4$ и $U_{\text{eff}}(r_0) < E < \omega^2 R^2/2$. Для данных значений траектории получаются эллиптическими

$$0 \leq \varepsilon(R) = \sqrt{1 - \frac{4\omega^2 R^4 L^2}{(2ER^2 + L^2)^2}} < 1.$$

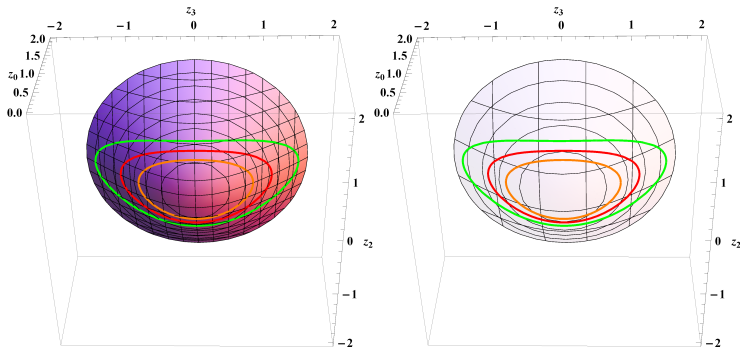


Рис.: Эллиптические траектории на верхнем листе двухполостного гиперболоида $z_0^2 - z_2^2 - z_3^2 = R^2$ для значений $\varepsilon = 0.3$ and $\rho = 0.3, 0.4, 0.5$.

В. В случае минимальной энергии $E = E_{\min} = U_{\text{eff}}(r_0)$ имеем из (6) что $\varepsilon = 0$ и $p = \omega R^2 / \sqrt{L^2}$, следовательно траектории являются кругами

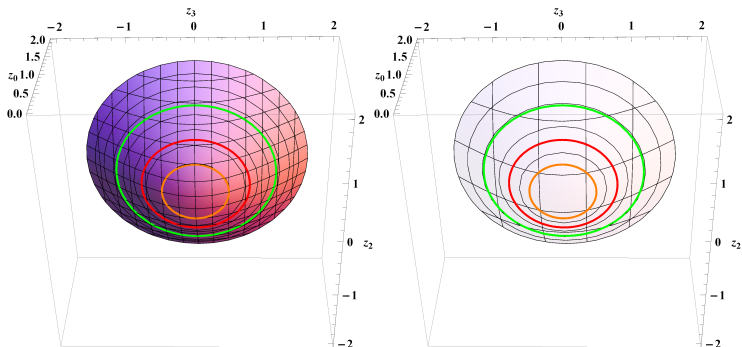


Рис.: Круговые траектории для $\varepsilon = 0$ и $p = 0.2, 0.4, 0.6$.

С. Для случая значения энергии $E = \omega^2 R^2/2$ получаем

$$\rho(R) = \frac{2A}{\omega^2 R^4 + L^2}, \quad \varepsilon(R) = \frac{|\omega^2 R^4 - L^2|}{\omega^2 R^4 + L^2},$$

и траектории имеют вид эквидистант ¹

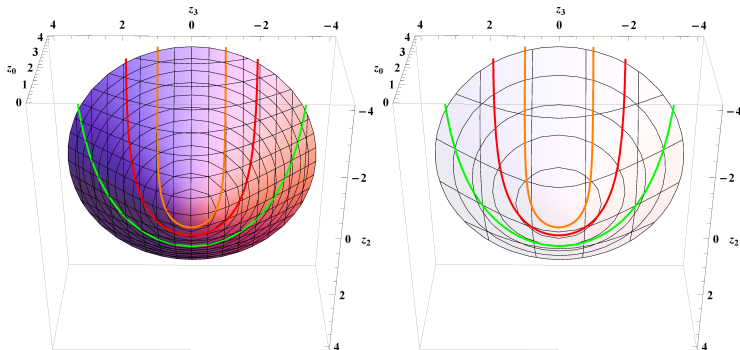


Рис.: Эквидистантные траектории на верхнем листе двухполостного гиперboloида $z_0^2 - z_2^2 - z_3^2 = R^2$ для значений пар $(\rho, \varepsilon) = (1/3, 2/3); (2/3, 1/3); (8/9, 1/9)$.

¹ M.Ranada J.Carinera and M.Santander. The harmonic oscillator on Riemannian and Lorentzian

D. Для энергии $E > \omega^2 R^2/2$ легко видеть что для любой положительной $L^2 > 0$ траектории получаются ультраэллипсаи

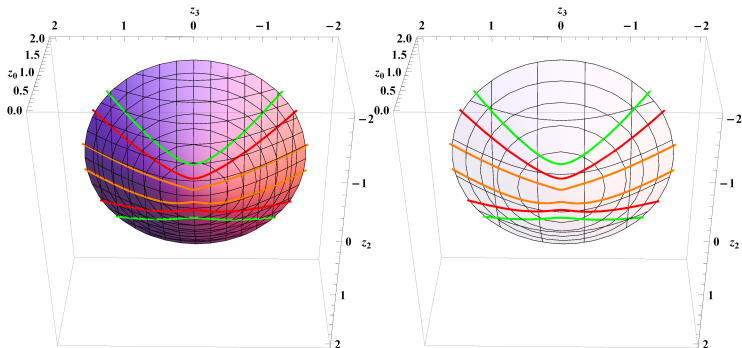


Рис.: Ультраэллиптические траектории на верхнем листе двухполостного гипербоида $z_0^2 - z_2^2 - z_3^2 = R^2$ для значений $\epsilon = 0.8$ and $p = 0.2, 0.5, 0.8$.

Для упрощения дальнейших формул, зафиксируем $p_\varphi = 0$. Тогда движение происходит при постоянном значении азимутального угла $\varphi = \varphi_0$ ограниченным условием $z_3/z_2 = \tan \varphi_0$. Для дальнейшего упрощения достаточно выбрать $\varphi_0 = 0$ или $\varphi_0 = \pi$. Так мы получаем что траектория движения (7) лежит на однополостном гиперboloиде $z_0^2 + z_1^2 - z_2^2 = R^2$. Для уравнение траектории в области $z_0 > R$ получим:

$$\coth^2 r = \left(\frac{1}{2} - \frac{ER^2}{|L^2|} \right) + \sqrt{\left(\frac{1}{2} - \frac{ER^2}{|L^2|} \right)^2 + \frac{\omega^2 R^4}{|L^2|}} \cosh(2\tau + 4\sqrt{|L^2|\beta}). \quad (7)$$

Производя далее преобразование $r \rightarrow i\chi$ и $\tau \rightarrow \mu - i\pi/2$ в формуле (7), получим уравнение траектории в области $0 < z_0 < R$:

$$\cot^2 \chi = - \left(\frac{1}{2} - \frac{ER^2}{|L^2|} \right) + \sqrt{\left(\frac{1}{2} - \frac{ER^2}{|L^2|} \right)^2 + \frac{\omega^2 R^4}{|L^2|}} \cosh(2\mu + 4\sqrt{|L^2|\beta}).$$

В формуле траектории (7) мы должны различить два случая, а именно для случаев $E < \omega^2 R^2/2$ и $E \geq \omega^2 R^2/2$. Первый случай соответствует связанному движению, а второй бесконечному.

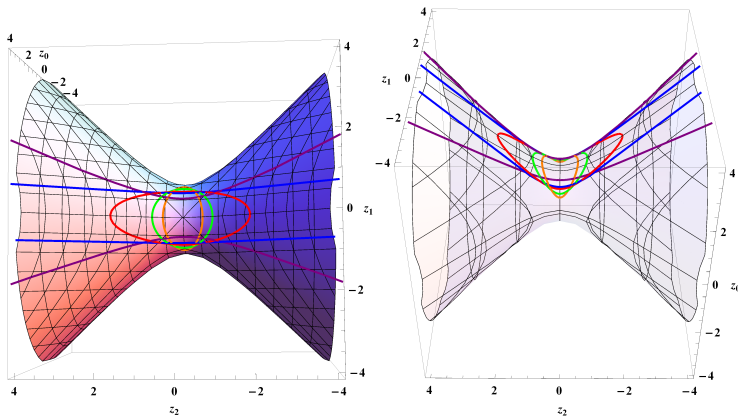


Рис.: Траектории для случая $L^2 = -1$; $E = -3/2, -1/2, 1/4, 1/2, 3/2$
 ($\omega = R = 1$)

В граничном случае $L^2 = 0$ легко получим

$$\coth^2 r = \frac{\omega^2 R^2}{2E} + R\sqrt{E}(2\beta - \tan \varphi/p_\varphi)^2,$$

с $\varphi_0 = 0$. Траектории могут быть представлены на гиперболическом цилиндре $z_0^2 - z_2^2 = R^2$, $z_1^2 = z_3^2$, $z_0 \geq R$.

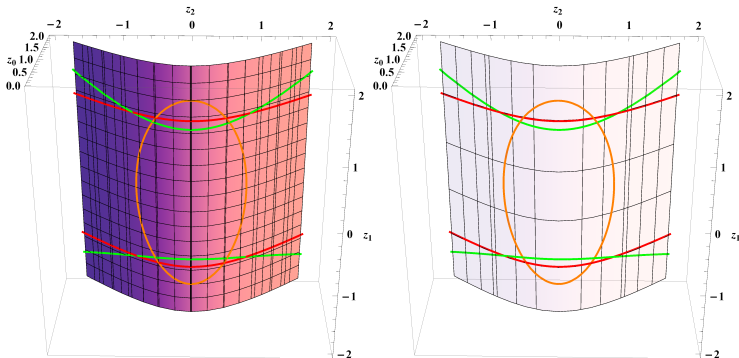


Рис.: Траектории для случая $A = 0$ на гиперболическом цилиндре $z_0^2 - z_2^2 = R^2$, $z_1^2 = z_3^2$, and $z_0 \geq R$. для значений $E = 0.2, 0.5, 0.8$ ($\omega = R = p_\varphi = 1$)

По аналогии с Евклидовым пространством требуем чтобы поле заряженной частицы $\mu = Ze$ в $r = 0$ удовлетворяло уравнению Пуассона

$$\Delta_{LB} V(r) = \frac{1}{R^2} \sinh^{-2} r \frac{\partial}{\partial r} \left(\sinh^2 r \frac{\partial V}{\partial r} \right) = -\frac{4\pi\mu}{R} \delta(r)$$

где $\delta(r)$ дельта функция Дирака. Решение последнего уравнения с условием

$$\lim_{r \rightarrow \infty} V(r) = 0$$

Потенциал

$$V^{KC}(r) = -\frac{\mu}{R} \frac{z_0}{\sqrt{z_0^2 - R^2}} = \begin{cases} -\frac{\mu}{R} \coth r, & |z_0| \geq R \\ -\frac{\mu}{R} \cot \chi, & |z_0| \leq R. \end{cases}$$

Гамильтониан может быть записан как

$$\mathcal{H}^{KC} = \frac{1}{2R^2} \left(p_r^2 + \frac{L^2}{\sinh^2 r} \right) - \frac{\mu}{R} \coth r, \quad |z_0| \geq Rr \quad (8)$$

$$\mathcal{H}^{KC} = -\frac{1}{2R^2} \left(p_\chi^2 + \frac{L^2}{\sin^2 \chi} \right) - \frac{\mu}{R} \cot \chi, \quad |z_0| \leq R \quad (9)$$

Вектор Рунге-Ленца

$$\vec{A} = -\frac{1}{2R} \left([\vec{N} \times \vec{L}] - [\vec{L} \times \vec{N}] \right) - \mu \frac{\vec{x}}{|\mathbf{x}|}, \quad [A_i, H] = 0 \quad i = 1, 2, 3$$

$$[\vec{N} \times \vec{L}]_i = \bar{g}_{im} \varepsilon_{mkl} N_k L_l, \quad \bar{g}_{ik} = \text{diag}\{-1, 1, 1\}.$$

$$\mathbf{LA} = \mathbf{AL} = \bar{g}_{ii} L_i A_i = 0, \quad A^2 = 2H(L^2 + 1) + \frac{L^2}{R^2}(L^2 - 2) + \mu^2$$

$$[A_i, A_j] = -2 \left(\frac{L^2}{R^2} + H \right) \bar{g}_{im} \bar{g}_{jn} \varepsilon_{mnk} L_k, \quad [L_i, A_j] = \bar{g}_{im} \bar{g}_{jn} \varepsilon_{mnk} A_k,$$

Уравнение Гамильтона-Якоби

В Гамильтониане делая замену $p_{\mu_i} \rightarrow \partial S / \partial \mu_i$, где $\mu_i = (r, \tau, \varphi)$ приходим к уравнению Гамильтона-Якоби

$$H = \frac{1}{2R^2} \left\{ \left(\frac{\partial S}{\partial r} \right)^2 - \frac{1}{\sinh^2 r} \left(\frac{\partial S}{\partial \tau} \right)^2 + \frac{1}{\sinh^2 r \cosh^2 \tau} \left(\frac{\partial S}{\partial \varphi} \right)^2 \right\} - \frac{\mu}{R} \coth r = E$$

Данное уравнение полностью разделимо, и координата φ является циклической. Мы будем искать решение классического действия $S(r, \tau, \varphi, t)$ в виде

$$S(r, \tau, \varphi, t) = -Et + p_\varphi \varphi + S_1(r) + S_2(\tau)$$

и получим

$$\left(\frac{\partial S_2}{\partial \tau} \right)^2 - \frac{p_\varphi^2}{\cosh^2 \tau} = -L^2 \quad (10)$$

$$\frac{1}{2R^2} \left(\frac{\partial S_1}{\partial r} \right)^2 - \frac{\mu}{R} \coth r + \frac{L^2}{2R^2 \sinh^2 r} = E \quad (11)$$

Эффективный потенциал

$$U_{\text{eff}}(r) = -\frac{\mu}{R} \coth r + \frac{L^2}{2R^2 \sinh^2 r}$$

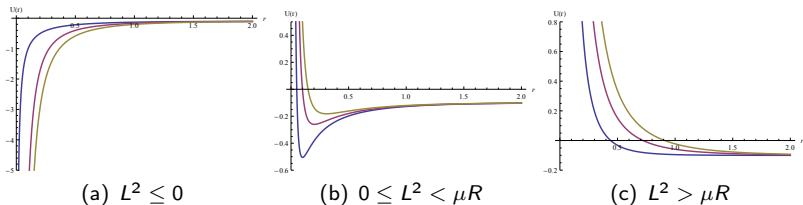


Рис.: Эффективный потенциал $U_{\text{eff}}(r)$ для разных значений L^2

Если $L^2 > 0$ и $\mu R/L^2 > 1$ этот потенциал имеет минимальное значение при $r_0 = \tanh^{-1}(L^2/\mu R)$, и в этой точке

$$U_{\text{eff}}(r_0) = -\frac{\mu^2 R^2}{2L^2} - \frac{L^2}{2R^2}$$

Как и в случае осциллятора траектория движения лежит на двумерном пространстве Лобачевского или двухполостном гиперboloиде: $z_0^2 - z_2^2 - z_3^2 = R^2$.
Уравнение траектории даётся формулой

$$\frac{1}{\coth r - 1} = \frac{\rho}{1 + \varepsilon(R) \cos \varphi} \quad (12)$$

где мы воспользовались обозначениями

$$\rho = \left(\frac{\mu R}{L^2} - 1 \right)^{-1} > 0, \quad \varepsilon(R) = \sqrt{1 + \frac{2L^2(R^2 E + \mu R)}{(\mu R - L^2)^2}} \quad (13)$$

Для случая $L^2 < \mu R$ и $E < -\mu/R$ ($\epsilon < 1$) траектории будут эллипсами

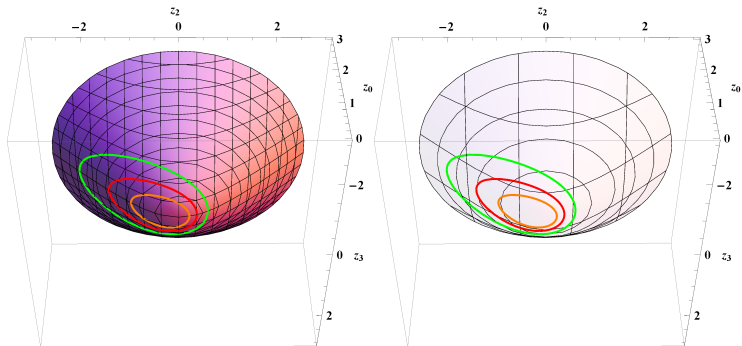


Рис.: Траектория для $p = 0.5, 1, 2$, $\epsilon = 0.8$

с периодом движения

$$T = \frac{\pi R}{\sqrt{2(|E| - \mu/R)}} \left[1 - \frac{1}{\sqrt{1 + 2\mu/(R|E| - \mu)}} \right] \quad (14)$$

который зависит только от энергии и кривизны пространства $\kappa = 1/R^2$

В случае же $E > -\mu/R$ в не зависимости от значения L^2 ($\epsilon > 1$) траектории будут несвязанными

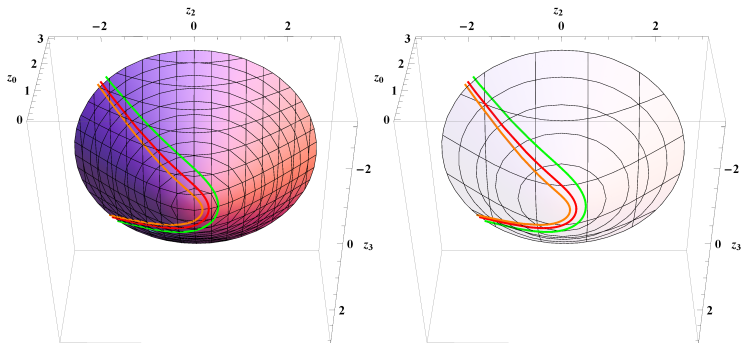


Рис.: Траектория для $\rho = 0.5, 1, 2$, $\epsilon = 1.3$

Уравнение Шредингера на гиперboloиде H_2^2 запишется как

$$\frac{1}{\sinh^2 r} \frac{\partial}{\partial r} \sinh^2 r \frac{\partial \Psi}{\partial r} + \left[2R^2 E - \frac{\hat{L}^2}{\sinh^2 r} + \frac{\mu}{R} (\coth r - 1) \right] \Psi = 0, \quad (15)$$

которое можно решить с помощью анзаца

$$\Psi(r, \tau, \varphi) = R(r) \mathcal{Y}_\ell^m(\tau, \varphi), \quad (16)$$

Псевдо-сферическая функция \mathcal{Y} является собственной функцией операторов $\hat{L}^2 \mathcal{Y}_\ell^m = \ell(\ell + 1) \mathcal{Y}_\ell^m$ и $L_1^2 \mathcal{Y}_\ell^m = m^2 \mathcal{Y}_\ell^m$ которое описывает квантовое геодезическое движение на двумерном однополостном гиперboloиде. Спектр ℓ может принимать как реальные значения: $\ell = 0, 1, \dots$ (дискретная серия представлений группы $SO(2, 1)$) так и комплексные значения $\ell = -1/2 + i\rho$, $\rho > 0$ (непрерывная серия). В первом случае собственные значения оператора \hat{L}^2 положительны а во втором отрицательны.

В случае целых значений ℓ для \mathcal{Y}_ℓ^m имеем

$$\mathcal{Y}_\ell^m(\tau, \varphi) = \frac{2^\ell \ell!}{\pi} \sqrt{\frac{(2\ell + 1)(|m| - \ell - 1)!}{2(|m| + \ell)!}} (\cosh \tau)^{-\ell-1} C_{|m|-\ell-1}^{\ell+1}(\tanh \tau) e^{im\varphi}$$

а для комплексных $\ell = -1/2 + i\rho$ решение $\mathcal{Y}_\rho^m(\tau, \varphi) = S_{\rho m}(\tau) e^{im\varphi} / \sqrt{2\pi}$ можно записать в терминах чётной и нечётной функций

$$S_{\rho m}^{(+)}(\tau) = C_{\rho m}^{(+)} (\cosh \tau)^{-|m|} {}_2F_1 \left(\frac{1}{4} + \frac{i\rho}{2} - \frac{|m|}{2}, \frac{1}{4} - \frac{i\rho}{2} - \frac{|m|}{2}; \frac{1}{2}; -\sinh^2 \tau \right),$$

$$S_{\rho m}^{(-)}(\tau) = C_{\rho m}^{(-)} (\cosh \tau)^{-|m|} \sinh \tau {}_2F_1 \left(\frac{3}{4} + \frac{i\rho}{2} - \frac{|m|}{2}, \frac{3}{4} - \frac{i\rho}{2} - \frac{|m|}{2}; \frac{3}{2}; -\sinh^2 \tau \right),$$

где константы $C^{(\pm)}$ выбраны так, чтобы удовлетворять условию нормировки

$$\int_{-\infty}^{\infty} S_{\rho m}^{(\pm)}(\tau) S_{\rho' m}^{(\pm)}(\tau) \cosh \tau d\tau = \delta(\rho - \rho').$$

Решение Квази-радиального уравнения

После разделения переменных для $R(r)$ получим

$$\frac{1}{\sinh^2 r} \frac{d}{dr} \sinh^2 r \frac{dR}{dr} + \left[2R^2 \left(E + \frac{\mu}{R} (\coth r - 1) \right) - \frac{\ell(\ell+1)}{\sinh^2 r} \right] R = 0 \quad (17)$$

дальнейшей подстановкой $R(r) = \Omega(r)/\sinh r$ приходим к

$$\Omega''(r) + \left[(2R^2 E - 1) + 2\mu R(\coth r - 1) - \frac{\ell(\ell+1)}{\sinh^2 r} \right] \Omega(r) = 0 \quad (18)$$

Эффективный потенциал Манинга-Розена

$$V_\ell(r) = -\mu R(\coth r - 1) + \frac{\ell(\ell+1)}{2\sinh^2 r} \quad (19)$$

Дискретный спектр возможен только для целых $\ell = 0, 1, 2, \dots$ и $E < 0$. Для решения получаем

$$R_{n\ell\sigma}(r) = N_{n\ell}^\sigma (\sinh r)^\ell e^{-(n+\ell+1-\sigma)r} {}_2F_1 \left(-n + \ell + 1, \ell + 1 + \sigma; 2\ell + 2; \frac{2}{1 + \coth r} \right)$$

со спектром энергии

$$E_N = -\frac{N^2 - 1}{2R^2} - \frac{\mu^2}{2nN^2} + \frac{\mu}{R}, \quad \lambda = N + \sigma - 1/2$$

где $N = (n_r + \ell + 1) = 1, 2, \dots, n_{max} < \sqrt{R\mu}$ главное квантовое число. Для каждого фиксированного N , уровень энергии E_N вырожден в $N - 1$ раз по квантовым числам ℓ и n_r , и бесконечно вырожден по азимутальному квантовому числу $m = \pm(\ell + 1), \pm(\ell + 2)$

Непрерывное же решение осуществляется для $E > 0$ в не зависимости от значения ℓ и решение запишется

$$R_{k\ell}(r) = N_{k\ell} (\sinh r)^{2\ell+1} e^{-(\ell+1+ik)r} \\ \times {}_2F_1\left(\ell + 1 + \frac{i}{2}(k + p), \ell + 1 + \frac{i}{2}(k - p); 2\ell + 2; \frac{2}{1 + \coth r}\right)$$

где

$$E = \frac{k^2 + 1}{2R^2} \quad p^2 = 2R^2 E - 1 - 4R\mu$$

Для значений $\ell = -1/2 + ip$ уравнение на собственные функции становится сильно сингулярным и расчёт ортонормированного базиса становится сложной задачей, которую мы тут пропустим

Квантовый осциллятор на H_2^2

В псевдо сферических координатах уравнение Шредингера

$$H\Psi(\mathbf{z}) = \left(-\frac{1}{2}\Delta_{LB} + V(\mathbf{z}) \right) \Psi = E\Psi(\mathbf{z})$$

Запишется как

$$\frac{1}{\sinh^2 r} \frac{\partial}{\partial r} \sinh^2 r \frac{\partial \Psi}{\partial r} + \left[2R^2 E - \frac{\hat{L}^2}{\sinh^2 r} - \omega^2 R^4 \tanh^2 r \right] \Psi = 0,$$

После подстановки $\Psi(r, \tau, \varphi) = (\sinh r)^{-1} R(r) \mathcal{Y}_\ell^m(\tau, \varphi)$ приходим к дифференциальному уравнению модифицированного Пешля-Теллера

$$\frac{d^2 R}{dr^2} + \left[\mathcal{E} + \frac{\nu^2 - 1/4}{\cosh^2 r} - \frac{(\ell + 1/2)^2 - 1/4}{\sinh^2 r} \right] R = 0$$

где $\mathcal{E} = 2R^2 E - \omega^2 R^4 - 1$ и $\nu = \sqrt{\omega^2 R^4 + \frac{1}{4}}$. Спектр уравнения (20) содержит конечное количество связанных состояний при $\nu > \ell + 3/2$ и описывается волновой функцией нормализованной на $[0, \infty)$:

$$R_{n_r \ell}(r) = N_{n_r \ell} (\sinh r)^{\ell/2} (\cosh r)^{1/2-\nu} \times \\ \times {}_2F_1(-n_r, n_r + \ell + 3/2 - \nu; \ell + 3/2; -\sinh^2 \tau)$$

где $n_r = 0, 1, \dots, [\frac{1}{2}(\nu - \ell - 3/2)]$ это радиальное квантовое число.

Спектр энергии связанных состояний запишется как

$$E_N(\nu, R) = -\frac{(N+1)(N+3)}{2R^2} + \frac{\nu+1/2}{R^2} \left(N + \frac{3}{2}\right) \quad (20)$$

Здесь $N = \ell + 2n_r$ главное квантовое число и связанные состояния возникают для $N = 0, 1, \dots, N_{max} = [\nu - 3/2]$. Для фиксированного квантового числа N все уровни вырождены по квантовым числам ℓ и n_r , для чётных и нечётных N соответственно $(N+2)/2$ и $(N+1)/2$ число раз. Кроме этого все состояния для фиксированного значения ℓ бесконечно вырождены по азимутальному квантовому числу m : $m = \pm(\ell+1), \pm(\ell+2), \dots$

Непрерывные состояния описываются волновой функцией

$$R_{p\ell}(r) = N_{p\ell} (\sinh r)^{\ell/2} (\cosh r)^{1/2-\nu} \\ \times {}_2F_1\left(\frac{\ell+3/2-\nu+ip}{2}, \frac{\ell+3/2-\nu-ip}{2}; \ell + \frac{3}{2}; -\sinh^2 \tau\right)$$

где энергия непрерывного спектра равна $E = (\nu^2 + 3/4 + p^2/4)/2R^2$, $p \in \mathbb{R}$.

Таким образом мы получили, что для целых значений квантового числа ℓ спектр энергии положителен и разделяется на две части, дискретную для $3(\nu - 1/2)/2R^2 < E < (\nu^2 + 3/4)/2R^2$ и непрерывную для $E \geq (\nu^2 + 3/4)/2R^2$.

Как и в случае осциллятора мы пропустим случай $\ell = -1/2 + ip$

Цилиндрические координаты

$$z_0 = R \cosh \rho \cos \theta$$

$$z_2 = R \sinh \rho \cos \varphi$$

$$z_1 = R \cosh \rho \sin \theta$$

$$z_3 = R \sinh \rho \sin \varphi$$

$$\rho > 0, \quad \theta \in [0, 2\pi), \quad \varphi \in [0, 2\pi)$$

В цилиндрической системе координат оператор Лапласа-Бельтрами запишется

$$\Delta_{LB} = \frac{1}{R^2} \left\{ \frac{1}{\cosh \rho \sinh \rho} \frac{\partial}{\partial \rho} \cosh \rho \sinh \rho \frac{\partial}{\partial \rho} - \frac{1}{\cosh^2 \rho} \frac{\partial^2}{\partial \theta^2} + \frac{1}{\sinh^2 \rho} \frac{\partial^2}{\partial \varphi^2} \right\}$$

а потенциал осциллятора

$$U(\rho, \theta, \varphi) = \frac{\omega^2 R^2}{2} \left(1 - \frac{1}{\cosh^2 \rho \cos^2 \theta} \right)$$

В уравнении Шредингера выбирая волновую функцию Ψ в виде

$$\Psi(\rho, \theta, \varphi) = (\cosh \rho \sinh \rho)^{-1/2} R(\rho) Z(\theta) \frac{e^{im\varphi}}{\sqrt{2\pi}}, \quad m = 0, \pm 1, \pm 2, \dots$$

после разделения переменных, приходим к системе связанных дифференциальных уравнений вида Пешля-Теллера

$$Z''(\chi) + \left[4A^2 - \frac{\nu^2 - 1/4}{\sin^2 \chi} - \frac{\nu^2 - 1/4}{\cos^2 \chi} \right] Z(\chi) = 0, \quad (21)$$

$$R''(\rho) + \left[\mathcal{E} + \frac{A^2 - 1/4}{\cosh^2 \rho} - \frac{m^2 - 1/4}{\sinh^2 \rho} \right] R(\rho) = 0,$$

где $\chi = \frac{\theta}{2} + \frac{\pi}{4} \in [0, \pi]$, $\mathcal{E} = 2R^2 E - \omega^2 R^2 - 1$, $\nu = \sqrt{\omega^2 R^4 + \frac{1}{4}}$ и A цилиндрическая константа разделения. Квадратично интегрируемое решение уравнения (21) нормализованное в области $\theta \in [-\frac{\pi}{2}, \frac{\pi}{2}]$ имеет следующий вид

$$Z(\theta) \equiv Z_{n_3}(\theta; \nu) = \frac{\sqrt{(n_3 + \nu + 1/2)n_3! \Gamma(1 + n_3 + 2\nu)}}{\Gamma(1 + n_3 + \nu)} (\cos \theta)^{\nu+1/2} P_{n_3}^{(\nu, \nu)}(\sin \theta)$$

с $n_3 = 0, 1, 2, \dots$. Константа разделения квантуется как

$$A = (n_3 + \nu + 1/2).$$

Для $R(\rho)$ решения для связанных состояний будут

$$\begin{aligned} R(\rho) \equiv R_{n_\rho}^{n_3 m}(\rho) &= N_{n_\rho}^{n_3 m} (\sinh \rho)^{|m|+1/2} (\cosh \rho)^{-(n_3+\nu)} \\ &\times {}_2F_1(-n_\rho, n_\rho + |m| - n_3 - \nu + 1/2; |m| + 1; -\sinh^2 \rho) \end{aligned}$$

где $n_\rho = 0, 1, 2, \dots, n_\rho^{\max} = [\frac{1}{2}(\nu + n_3 - |m| - \frac{1}{2})]$. Спектр энергии получается таким же как в (20) с главным квантовым числом $N = |m| + 2n_\rho - n_3 - 1$.

$$\begin{aligned} z_0 &= R \cosh \tau_1 \cosh \tau_2 \cos \theta, & z_2 &= R \cosh \tau_1 \sinh \tau_2, \\ z_1 &= R \cosh \tau_1 \cosh \tau_2 \sin \theta, & z_3 &= R \sinh \tau_1, \end{aligned}$$

$$\theta \in \left[-\frac{\pi}{2}, \frac{\pi}{2}\right), \quad (\tau_1, \tau_2) \in (-\infty, \infty)$$

В эквидистантных системе координат оператор Лапласа-Бельтрами запишется

$$\Delta_{LB} = \frac{1}{R^2} \left\{ \frac{1}{\cosh^2 \tau_1} \frac{\partial}{\partial \tau_1} \cosh \tau_1^2 \frac{\partial}{\partial \tau_1} + \frac{1}{\cosh^2 \tau_1} \left[\frac{1}{\cosh \tau_2} \frac{\partial}{\partial \tau_2} \cosh \tau_2 \frac{\partial}{\partial \tau_2} - \frac{1}{\cosh^2 \tau_2} \frac{\partial^2}{\partial \varphi^2} \right] \right\}$$

а потенциал осциллятора

$$U(\tau_1, \tau_2, \theta) = \frac{\omega^2 R^2}{2} \left(1 - \frac{1}{\cosh^2 \tau_1 \cosh^2 \tau_2 \cos^2 \theta} \right)$$

В уравнении Шредингера выбирая волновую функцию Ψ в виде

$$\Psi(\tau_1, \tau_2, \theta) = (\cosh \tau_1)^{-1} X(\tau_1) (\cosh \tau_2)^{-1/2} Y(\tau_2) Z_{n_3}(\theta),$$

где функция $Z_{n_3}(\theta)$ даётся формулой (34), и после разделения переменных, получаем два модифицированных (симметричных) уравнений типа Пешля-Теллера

$$Y''(\tau_2) + \left[-(j + 1/2)^2 + \frac{(n_3 + \nu + \frac{1}{2})^2 - 1/4}{\cosh^2 \tau_2} \right] Y(\tau_2) = 0$$

$$X''(\tau_1) + \left[\varepsilon + \frac{(j + 1/2)^2 - 1/4}{\cosh^2 \tau_1} \right] X(\tau_1) = 0$$

и j эквидистантная константа разложения. Нормированная в области $(\tau_1, \tau_2) \in (-\infty, \infty)$ связанные волновые функции запишутся

$$Y_{jn_2n_3}(\tau_2) = 2^j \Gamma(j + 1) \sqrt{\frac{(2j + 1)(n_2)!}{\pi \Gamma(n_3 + j + \nu + 3/2)}} (\cosh \tau_2)^{-j - \frac{1}{2}} C_{n_2}^{j+1}(\tanh \tau_2) \quad (22)$$

$$X_{jn_1}(\tau_1) = \frac{\Gamma(j - n_1 + \frac{1}{2})}{2^{n_1 - j}} \sqrt{\frac{(j - n_1)n_1!}{\pi \Gamma(2j - n_1 + 1)}} (\cosh \tau_1)^{-j + n_1} C_{n_1}^{j - n_1 + \frac{1}{2}}(\tanh \tau_1) \quad (23)$$

а константы j и $\sqrt{\varepsilon}$ будут

$$j = n_3 - n_2 + \nu - \frac{1}{2}, \quad \varepsilon = -(j - n_1)^2$$

где квантовые числа n_1 и n_2 пробегает значения $n_2 = 0, 1, 2, \dots, n_2^{\max} = [n_3 + \nu - 1/2]$ и $n_1 = 0, 1, \dots, n_1^{\max} = [j]$. Энергия связанного состояния E_N даётся формулой (20), где здесь главное квантовое число N запишется через эквидистантные квантовые числа (n_1, n_2, n_3) как $N = n_1 + n_2 - n_3 - 1$.

Связь между эквидистантным и цилиндрическим базисами при фиксированном значении квантового числа $N = n_1 + n_2 - n_3 - 1 = 2n_\rho + |m| - n_3 - 1$ и квантового числа n_3 имеет вид разложения

$$\Psi_{jn_1n_2n_3}(\tau_1, \tau_2, \theta) = \sum_{m=-(n_1+n_2)}^{(n_1+n_2)} W_{jn_1n_2n_3}^{n_\rho m} \Psi_{n_\rho mn_3}(\rho, \theta, \varphi) \quad (24)$$

Квантовое число m имеет ту же четность как $n_1 + n_2$ и пробегает значения $m = -(n_1 + n_2), -(n_1 + n_2) + 2, \dots, (n_1 + n_2) - 2, (n_1 + n_2)$. Коэффициенты разложения выразятся через полиномы Хана:

$$W_{jn_1n_2n_3}^{n_\rho m} = \sqrt{\frac{(2\beta + 2n + 1)(N - n)!(\alpha + n)!(\alpha + N - n)!(\alpha + \beta + n)!}{(x)!(N - x)!(\alpha + \beta + n + N + 1)!(n)!}} \\ \times \frac{(-1)^x e^{i(2N - 2n - x)\frac{\pi}{2}} (N)!}{(\alpha)!} Q_n(x; \alpha, \beta, N)$$

Классическая задача Кеплера-Кулона на мнимом пространстве Лобачевского

Однополостный гиперболоид $H_1^3 = SO(3, 1)/SO(2, 1)$

$$-x_0^2 + x_1^2 + x_2^2 + x_3^2 = R^2$$

Псевдо-сферические координаты

$$x_0 = R \sinh \tau,$$

$$x_1 = R \cosh \tau \sin \theta \cos \phi,$$

$$x_2 = R \cosh \tau \sin \theta \sin \phi,$$

$$x_3 = R \cosh \tau \cos \theta,$$

$$\tau \in (-\infty, \infty), \quad \theta \in [0, \pi], \quad \phi \in [0, 2\pi).$$

Метрика

$$\frac{ds^2}{R^2} = d\tau^2 - \cosh^2 \tau (d\theta^2 + \sin^2 \theta d\phi^2).$$

Свободный Гамильтониан

$$H = \frac{1}{2R^2} \left\{ p_\tau^2 - \frac{1}{\cosh^2 \tau} \left(p_\theta^2 + \frac{1}{\sin^2 \theta} p_\phi^2 \right) \right\} \quad (25)$$

Потенциал

$$V = -\frac{\alpha}{R} \frac{x_0}{\sqrt{x_1^2 + x_2^2 + x_3^2}} = -\frac{\alpha}{R} \tanh \tau$$

А полный Гамильтониан запишется как

$$H = \frac{1}{2R^2} \left\{ p_\tau^2 - \frac{1}{\cosh^2 \tau} p_\theta^2 - \frac{1}{\cosh^2 \tau} \frac{1}{\sin^2 \theta} p_\phi^2 \right\} - \frac{\alpha}{R} \tanh \tau, \quad (26)$$

Вектор Рунге-Ленца

$$\mathbf{A} = \frac{1}{2R} ([\mathbf{N} \times \mathbf{L}] - [\mathbf{L} \times \mathbf{N}]) + \alpha \frac{\mathbf{r}}{|\mathbf{r}|} \quad [A_i, H] = 0$$

$$\mathbf{L}\mathbf{A} = L_1 A_1 + L_2 A_2 + L_3 A_3 = 0 \quad A^2 = -H(L^2 - 2) + \frac{L^2}{R^2}(L^2 - 2) + \alpha^2$$

$$[A_i, A_j] = \left(\frac{L^2}{R^2} - H \right) \varepsilon_{ijk} L_k \quad [L_i, A_j] = -\varepsilon_{ijk} A_k$$

Уравнение Гамильтона-Якоби связанное с Гамильтонианом (26) получается после подстановки $p_{\mu_i} \rightarrow \partial S / \partial \mu_i$, где $\mu_i = (\tau, \theta, \phi)$:

$$H = \frac{1}{2R^2} \left\{ \left(\frac{\partial S}{\partial \tau} \right)^2 - \frac{1}{\cosh^2 \tau} \left(\frac{\partial S}{\partial \theta} \right)^2 - \frac{1}{\cosh^2 \tau \sin^2 \theta} \left(\frac{\partial S}{\partial \phi} \right)^2 \right\} - \frac{\alpha}{R} \tanh \tau = E.$$

Эо уравнение полностью разделимо, и координата ϕ циклична. Мы ищем решения для классического действия $S(\tau, \theta, \phi, t)$ в виде

$$S(\tau, \theta, \phi, t) = -Et + p_\phi \phi + S_1(\tau) + S_2(\theta),$$

$$\left(\frac{dS_2}{d\theta} \right)^2 + \frac{p_\phi^2}{\sin^2 \theta} = L^2, \quad (27)$$

$$\left(\frac{dS_1}{d\tau} \right)^2 - 2R\alpha \tanh \tau - \frac{L^2}{\cosh^2 \tau} = 2R^2 E, \quad (28)$$

Эффективный потенциал

$$V_{\text{eff}}^{Cl}(\tau) = -\frac{\alpha}{R} \tanh \tau - \frac{L^2}{2R^2 \cosh^2 \tau}.$$

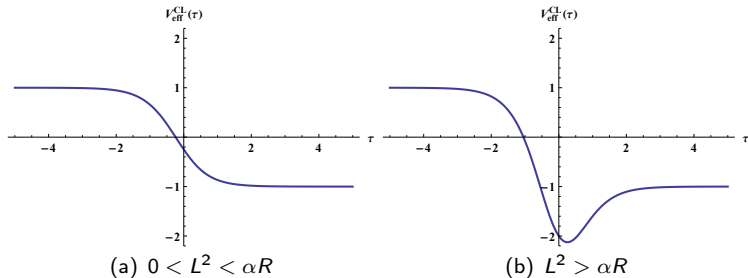


Рис.: Потенциал $V_{\text{eff}}^{Cl}(\tau)$ для $L^2 = 4$ и $L^2 = 1/2$ ($\alpha = R = 1$)

В случае $L^2 > \alpha R$ этот потенциал имеет минимальное значение при $\tau_0 = \tanh^{-1}[\alpha R/L^2]$ и в этой точке

$$V_{\text{eff}}^{Cl}(\tau_0) = -\frac{1}{2R^2} \left(L^2 + \frac{\alpha^2 R^2}{L^2} \right)$$

Легко видеть что для фиксированных значений L^2 и p_ϕ^2 движение частицы на однополостном гиперболоиде ограничено дополнительны условием

$$\frac{x_3}{x_1 \sin \phi_0 - x_2 \cos \phi_0} = \sqrt{L^2/p_\phi^2 - 1}$$

Следовательно, без утраты общности мы можем выбрать $\theta = \pi/2$ или $L^2 = p_\phi^2$. Таким образом траектория лежит на двумерном мнимом пространстве Лобачевского или однополостном гиперболоиде: $x_0^2 - x_1^2 - x_2^2 = -R^2$. Можем записать уравнение траектории в виде

$$\frac{1}{1 - \tanh \tau} = \frac{p}{1 + \varepsilon(R) \cos \varphi}, \quad (29)$$

где мы воспользовались обозначениями

$$p = \left(1 - \frac{\alpha R}{L^2}\right)^{-1} > 0, \quad \varepsilon(R) = \sqrt{1 + \frac{2\alpha R}{L^2} \frac{(1 + RE/\alpha)}{(1 - \alpha R/L^2)^2}}, \quad (30)$$

А. Рассмотрим эллиптические траектории, которые возможны только для отрицательных значений энергии: для $-\frac{1}{2R^2} \left(L^2 + \frac{\alpha^2 R^2}{L^2} \right) < E < -\frac{\alpha}{R}$ с

$$0 \leq \varepsilon(R) = \sqrt{1 + \frac{2\alpha R}{L^2} \frac{(1 - R|E|/\alpha)}{(1 - \alpha R/L^2)^2}} < 1.$$

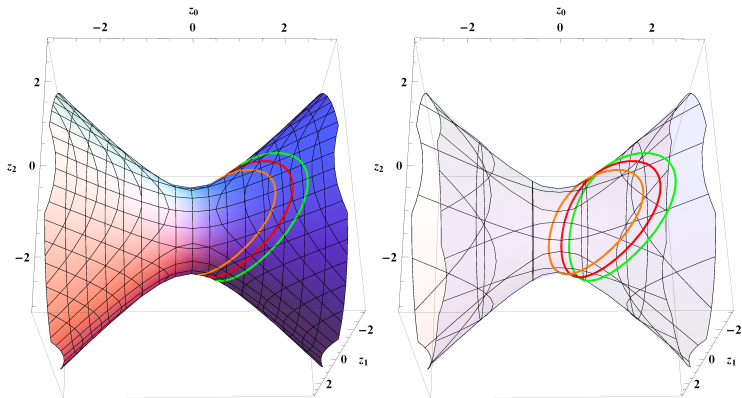


Рис.: Траектории движения для $\epsilon = 0.8$ и $p = 1.5, 2, 2.5$

Легко можно посчитать период эллиптического движения.

$$T = \frac{\pi R}{\sqrt{8|E|}} \left[\frac{1}{\sqrt{1 + \alpha/R|E|}} + \frac{1}{\sqrt{1 - \alpha/R|E|}} \right], \quad (31)$$

которое как и ожидалось зависит только от энергии. Для $E = E_{min}$ имеем $\varepsilon = 0$

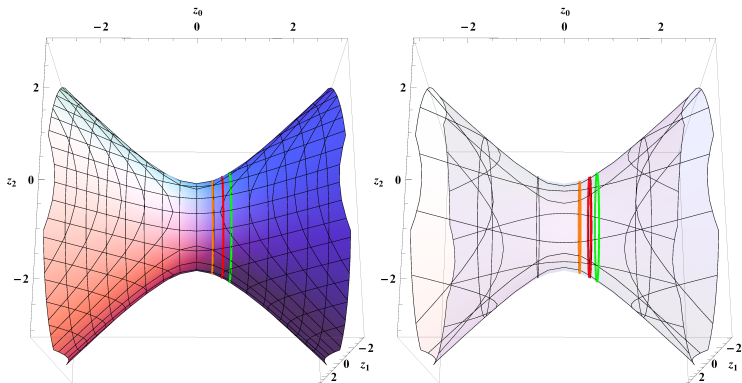


Рис.: Траектории движения для $\epsilon = 0$ и $\rho = 1.5, 2, 2.5$

В. Для $E = -\alpha/R$ имеем $\varepsilon(R) = 1$

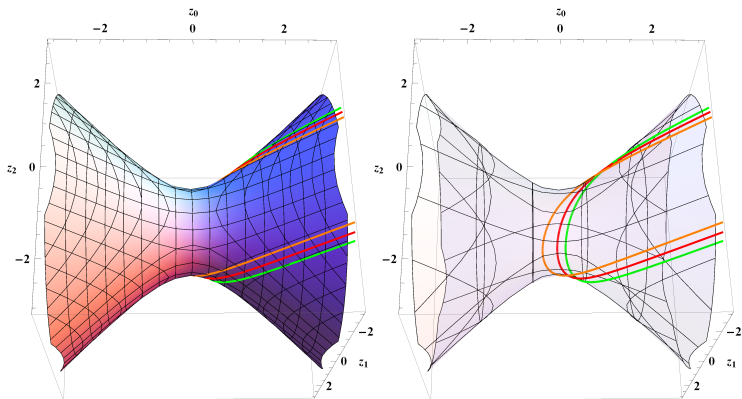


Рис.: Траектория движения для $\epsilon = 1$ и $p = 1.5, 2, 2.5$

С. Для значений энергии $-\alpha/R < E < \alpha/R$ траектория движения будет гиперболой

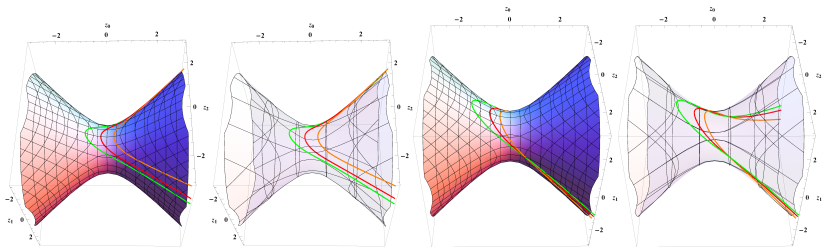


Рис.: Траектория движения для $L^2 = 1/2$ и $E = -1/2, 0, 1/2$ и $L^2 = 2$ и $E = -1/2, 0, 1/2$ ($\alpha = R = 1$)

D. Для $E \geq \alpha/R$ движение происходит во всей области $\tau \in (-\infty, \infty)$

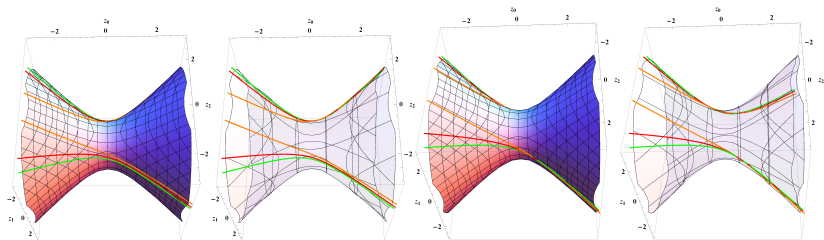


Рис.: Траектория движения для $L^2 = 1/2$ и $E = 1, 2, 3$ и $L^2 = 2$ и $E = 1, 2, 3$ ($\alpha = R = 1$)

Квантовая задача Кеплера-Кулона на однополостном гиперboloиде $SO(3, 1)$

В псевдо-сферических координатах Гамильтониан задачи запишется как

$$H = -\frac{1}{2R^2} \left[\frac{\partial^2}{\partial \tau^2} + 2 \tanh \tau \frac{\partial}{\partial \tau} - \frac{1}{\cosh^2 \tau} \left(\frac{\partial^2}{\partial \theta^2} + \cot \theta \frac{\partial}{\partial \theta} + \frac{1}{\sin^2 \theta} \frac{\partial^2}{\partial \phi^2} \right) \right] - \frac{\alpha}{R} \tanh \tau.$$

Подставляя в соответствующее уравнение Шредингера волновую функцию

$$\Psi = S(\tau) Y_l^m(\theta, \phi), \quad (32)$$

где Y_l^m это сферические гармоники, мы получаем уравнение для радиальной функции S

$$\frac{d^2 S}{d\tau^2} + 2 \tanh \tau \frac{dS}{d\tau} + \left[\frac{l(l+1)}{\cosh^2 \tau} + 2\alpha R \tanh \tau + 2ER^2 \right] S = 0. \quad (33)$$

Решения для дискретного спектра запишутся как

$$f_{nl}(\tau) = N_{nl} e^{\sigma\tau} (2 \cosh \tau)^{-n} {}_2F_1(n+l+1, n-l; n+\sigma+1; (1+e^{-2\tau})^{-1}), \quad (34)$$

со спектром энергии

$$E_n = -\frac{\alpha^2}{2n^2} - \frac{n^2 - 1}{2R^2}. \quad (35)$$

где $N = \delta, \delta + 1, \dots, l$ где $\delta = \max\{\lfloor \sqrt{\alpha R} \rfloor, 1\}$.

Эллиптическо-параболические II координаты

$$\begin{aligned}
 x_0 &= \frac{R(t_1 + t_2 - 2)}{2\sqrt{(1-t_1)(t_2-1)}}, & x_1 &= R\sqrt{t_1 t_2} \cos \phi, \\
 x_2 &= R\sqrt{t_1 t_2} \sin \phi, & x_3 &= \frac{R(t_1 + t_2 - 2t_1 t_2)}{2\sqrt{(1-t_1)(t_2-1)}}.
 \end{aligned} \tag{36}$$

$$t_1 \in [0, 1), t_2 \in (1, \infty), \varphi \in [0, 2\pi) \quad x_0 + x_3 > 0$$

В координатах t_1, t_2, ϕ , Гамильтониан принимает вид

$$\begin{aligned}
 H = \frac{2}{R^2} \left[\frac{1-t_1}{t_2-t_1} \frac{\partial}{\partial t_1} t_1(1-t_1) \frac{\partial}{\partial t_1} + \frac{1-t_2}{t_1-t_2} \frac{\partial}{\partial t_2} t_2(1-t_2) \frac{\partial}{\partial t_2} + \right. \\
 \left. + \frac{1}{4t_1 t_2} \frac{\partial^2}{\partial \phi^2} \right] - \frac{\alpha}{R} \frac{t_1 + t_2 - 2}{t_2 - t_1}.
 \end{aligned}$$

Замена $\Psi = S_1(t_1)S_2(t_2)e^{im\phi}$ разделяет переменные в уравнении Шредингера и мы получаем уравнения для S_1 и S_2

$$\frac{d}{dt_1} (t_1 - 1)t_1 \frac{dS_1}{dt_1} + \left[\frac{ER^2 - \alpha R}{2} - \frac{m^2}{4t_1} + \frac{A}{4(t_1 - 1)} \right] S_1 = 0, \tag{37}$$

$$\frac{d}{dt_2} (t_2 - 1)t_2 \frac{dS_2}{dt_2} + \left[\frac{ER^2 + \alpha R}{2} - \frac{m^2}{4t_2} + \frac{A}{4(t_2 - 1)} \right] S_2 = 0. \tag{38}$$

Для $E = E_n$ константа разделения A может принимать также и дискретные значения. Это только возможно для $n - \sigma < |m| < n + \sigma$ где $\sigma = \alpha R/n$. Тогда можно записать $A = -[\sigma - (n_1 + n_2 + 1)]^2$, где $n_1 = 0, 1, 2, \dots, \frac{1}{2}[n - \sigma - |m| - 1]$, $n_2 = 0, 1, 2, \dots, \frac{1}{2}[|m| - n + \sigma - 1]$, и $n = |m| + n_1 - n_2$. Для решений же получим В этом случае имеем волновые функции $\Psi_{n_1 n_2 m}(t_1, t_2, \phi)$ нормированные условием

$$\int \int \int_{x_0+x_3>0} \Psi_{n_1 n_2 m}^*(t_1, t_2, \phi) \Psi_{n_1 n_2 m}(t_1, t_2, \phi) dV = \frac{1}{2},$$

принимают вид

$$\Psi_{n_1 n_2 m}(t_1, t_2, \phi) = N_{n_1 n_2}^n S_{1 n_1 n_2}^n(t_1) S_{2 n_1 n_2}^n(t_2) \frac{e^{im\phi}}{\sqrt{2\pi}}, \quad (39)$$

где

$$S_{1 n_1 n_2}^n = t_1^{|m|/2} (1 - t_1)^{-n_1 + (n + \sigma - |m| - 1)/2} {}_2F_1(-n_1, n + \sigma - n_1; |m| + 1; t_1),$$

$$S_{2 n_1 n_2}^n = t_2^{n_2 - |m|/2} (t_2 - 1)^{-n_2 + (|m| - n + \sigma - 1)/2} {}_2F_1(-n_2, |m| - n_2; n - \sigma + 1; 1/t_2),$$

Разложение волновых функций

Для фиксированных значений энергии, волновая функция (39) могут быть разложены волновыми функциями $\Psi_{nlm}(\tau, \theta, \phi)$ (32) как

$$\Psi_{n_1 n_2 m}(t_1, t_2, \phi) = \sum_{l=\max\{n, |m|\}}^{\infty} W_{n_1 n_2}^{nlm} \Psi_{nlm}(\tau, \theta, \phi). \quad (40)$$

Для нахождения коэффициентов разложения $W_{n_1 n_2}^{nlm}$, выразим координаты (t_1, t_2) в левой части (40) через сферические координаты

$$t_1 = \frac{(1 - \cos \theta)}{(1 + \tanh \tau)} \quad t_2 = \frac{(1 + \cos \theta)}{(1 - \tanh \tau)}$$

Мы должны заметить, что волновая функция (39) действительна только на половине пространства где $x_0 + x_3 > 0$, или на языке псевдо-евклидовых координат $\tanh \tau + \cos \theta > 0$. Рассматривая данное разложение в точке $\tau \rightarrow \infty$, и исключая переменную τ с обеих сторон окончательно для коэффициента разложения получим

$$\begin{aligned} W_{n_1 n_2 m}^{nlm} &= \frac{(-1)^{l-n+\frac{m-|m|}{2}}}{l!(n+|m|)!} \sqrt{\frac{2(\sigma - n_1 - n_2 - 1)(2l+1)}{\Gamma(l+1+\sigma)\Gamma(l+1-\sigma)}} \frac{\Gamma(\sigma - n_1 - n_2)(l - n_1 - n)!}{\Gamma(\sigma + n_1 - n_2)\Gamma(n + \sigma - l - n_1)} \\ &\times \sqrt{\frac{(l+|m|)! n_1!(l+n)! (|m|+n_1)! (|m|-n_1-1)!}{(l-|m|)! n_2!(l-n)!}} \Gamma(\sigma - n_1)\Gamma(\sigma - n_2) \\ &\times {}_4F_3 \left[\begin{matrix} -l+n, -l+|m|, n-n_1, n+\sigma-n_1; 1 \\ 1+|m|+n, n-l-n_1, n+\sigma-n_1-l \end{matrix} \right] \end{aligned}$$

Основные результаты работы

- 1 Показано что классическая задача о гармоническом осцилляторе и движении в кеплеровском поле может быть определена на гиперboloиде H_2^2 или конфигурационном пространстве анти де Ситтера. Построены дополнительные интегралы движения: аналог тензора Демкова для гармонического осциллятора и вектор Рунге-Ленца-Лапласа для движения в кулоновском поле. Доказано, что обе задачи принадлежат к классу максимально суперинтегрируемых систем.
- 2 В рамках уравнения Гамильтона-Якоби построены классические траектории движения для разных значений Лоренцевского момента L^2 и энергии E . Показано, что при положительных значениях $L^2 > 0$ орбиты расположены на верхней (нижней) поле двухполостного гиперboloида, в то время как при $L^2 < 0$ движение происходит на поверхности однополостного гиперboloида. Найдены условия при которых все конечные орбиты замкнуты.
- 3 Показано что при движении в кеплеровском поле на H_2^2 имеют место все три закона Кеплера.
- 4 Путём разделения переменных в псевдо-сферической системе координат вычислены ортонормированные собственные функции дискретного и непрерывного спектров и собственные значения уравнения Шредингера для потенциалов гармонического осциллятора и Кеплера-Кулона на H_2^2 в псевдо-сферической системе координатах при положительных значениях квантового момента $L^2 > 0$ (дискретная серия представлений). Показано, что существует конечное число уровней энергии вырожденных по угловому квантовому числу и бесконечно-кратно по азимутальному квантовому числу.

- 5 Найдены решения уравнения Шредингера для гармонического осциллятора в цилиндрической и эквидистантной системах координат. Вычислен полный спектр энергии гармонического осциллятора соответствующий движению на полной поверхности H_2^2 гиперboloида. Построены коэффициенты разложения для переходов между цилиндрическим и эквидистантными базисами в дискретном спектре. Найдена связь межбазисных коэффициентов с полиномами Хана.
- 6 Сформулирована классическая задача Кеплера на одно - полосом гиперboloиде $SO(3, 1)$ и построен аналог вектора Рунге-Ленца-Лапласа. Найдено решение уравнения Гамильтона-Якоби в псевдо-сферической координатной системе. Построены траектории движения для разных значений момента L^2 и энергии E . Показано, что все конечные траектории замкнуты.
- 7 Решена задача о разложении произвольной функции на однополостном гиперboloиде $SO(3, 1)$ по полной системе псевдо-сферических кулоновских волновых функциях. Найдено решение уравнения Шредингера для кулоновского потенциала в эллиптико-параболической системе координат для дискретного спектра энергий. Вычислены коэффициенты межбазисных разложений для переходов между псевдо-сферическими и эллиптико-параболическими волновыми функциями.
- 8 Решена задача о смешанных межбазисных разложениях для гармонического осциллятора на двухполостном гиперboloиде $SO(3, 1)$. Показано что соответствующие коэффициенты разложений выражаются через полиномы Вильсона.

- 1 D.R.Petrosyan, G.S.Pogosyan, The Kepler-Coulomb Problem on $SO(2,2)$ Hyperboloid. *Physics of atomic nuclei*, 75(10):1272-1278, 2012
- 2 D.R.Petrosyan, G.S.Pogosyan, Classical Kepler-Coulomb Problem on $SO(2,2)$ hyperboloid. *Physics of atomic nuclei*, 76(10):1273-1283, 2013
- 3 D.R.Petrosyan, G.S.Pogosyan, Quantum Oscillator Problem on $SO(2,2)$ Hyperboloid. *Nonlinear phenomena in complex systems*, 17(4):405-408, 2014
- 4 D.R.Petrosyan, G.S.Pogosyan, Harmonic Oscillator on the $SO(2,2)$ Hyperboloid. *SIGMA*, 11(96):1-23, 2015
- 5 Yu.A.Kurochkin, V.S.Otchik, D.R.Petrosyan, G.S.Pogosyan, Eigenfunction expansion in the imaginary Lobachevsky space. *Proceedings of the IX International conference BGL-9*
- 6 Yu.A.Kurochkin, L.G.Mardoyan, V.S.Otchik, D.R.Petrosyan, G.S.Pogosyan, Kepler motion on single-sheet hyperboloid., *Proceedings of the IX International conference BGL-9*

Спасибо за внимание